

Письма в ЖЭТФ, том 10, стр. 196 – 200

20 августа 1969 г.

О РАЗВОРОТЕ ПОДРЕШЕТОК ФЕРРИМАГНЕТИКА В МАГНИТНОМ ПОЛЕ

Б.Л.Горанский, А.К.Звездик

В ферримагнетиках с двумя подрешетками в некотором интервале магнитных полей ($H_1 < H < H_2$) происходит разворот подрешеток от антипараллельного расположения до параллельного [1–3]. В редкоземель-

ных ферритах-гранатах (РФГ) из-за сильного парапроцесса разворот подрешеток имеет ряд особенностей. В них имеется сильное обменное взаимодействие внутри результирующей железной подрешетки, относительно слабое взаимодействие между железной и редкоземельной подрешетками и очень слабое взаимодействие между ионами редких земель. При достаточно высоких температурах ($T \gtrsim 10^{\circ}\text{K}$) это последнее взаимодействие не оказывает влияния на магнитные свойства РФГ, следовательно редкоземельные ионы в них ведут себя как "газ" парамагнитных ионов, находящихся под действием эффективного магнитного поля, создаваемого результирующей железной подрешеткой. Поэтому намагниченность редкоземельной подрешетки и критические поля H_1 и H_2 между которыми происходит разворот подрешеток, сильно зависят от температуры. Так, согласно [1–3] при низких температурах в РФГ $H_1 \sim 5 \cdot 10^5 \text{ Гц}$, и уменьшается до 0 в районе температуры компенсации T_K , где намагниченности редкоземельной (M_1) и железной (M_2) подрешеток сравниваются. Область температур вблизи T_K имеет наибольший экспериментальный интерес, однако результаты работ [1–3] для нее неприменимы, так как в них не учитывалась магнитная анизотропия, которая здесь играет принципиальную роль.

В данной работе исследуется влияние магнитной анизотропии на фазовую диаграмму (H , T) РФГ. Показывается также, что разворот подрешеток можно интерпретировать как фазовый переход второго рода. Отсюда следует возможность измерения критических полей по изменениям термодинамических величин при развороте (например, теплоемкости, модуля Юнга, магнитострикции и т. д.).

Свободную энергию РФГ в приближении молекулярного поля можно записать в виде

$$F = - \int M_1 dH_{\text{эфф}} - M_2 H \cos \theta_2 - M_2 H_a^{(2)} \cos^2 \theta_2 \quad (1)$$

$$M_1 = M_{10} B_s (\mu H_{\text{эфф}} / kT), \quad H_{\text{эфф}} = H \cos \theta_1 - \lambda M_2 \cos(\theta_1 - \theta_2) + H_a, \quad (2)$$

где H_a — проекция на направление M_1 поля анизотропии редкоземельной подрешетки (определяется через энергию анизотропии выражением $- \int M_1 dH_a = - M_1 H_a^{(1)} \cos^2 \theta_1$; $H_{\text{эфф}}$ — эффективное поле, действующее на ионы редкой земли; θ_1 и θ_2 — углы, определяющие ориентацию намагниченностей M_1 — M_2 относительно внешнего поля H ; M_{10} — намагниченность редкоземельной подрешетки при $T = 0^{\circ}\text{K}$; μ — магнитный момент редкоземельного иона; $H_a^{(1)}$ и $H_a^{(2)}$ — поля анизотропии редкоземельной и

железной подрешеток. Для простоты мы здесь рассматриваем одноосную анизотропию. Случай $H_a^{(1)} > 0$ и $H_a^{(2)} > 0$ соответствует намагничиванию вдоль легкой оси кристалла, случай $H_a^{(1)} < 0$ и $H_a^{(2)} < 0$ — вдоль трудной оси. Результаты минимизации свободной энергии приведены на рис. 1 и 2. На плоскости (H, T) можно выделить четыре фазы: три коллинеарные фазы 1) $\theta_1 = 0, \theta_2 = \pi$; 2) $\theta_1 = \pi, \theta_2 = 0$; 3) $\theta_1 = \theta_2 = 0$ и угловую фазу, где углы θ_1 и θ_2 задаются уравнениями

$$H^2 + [2(H_a^{(1)} \cos \theta_1 + H_a^{(2)} \cos \theta_2) - \lambda(M_1 \cos \theta_1 + M_2 \cos \theta_2)]H + \\ + 4H_a^{(1)}H_a^{(2)} \cos \theta_1 \cos \theta_2 - 2\lambda(M_1 H_a^{(1)} \cos^2 \theta_1 + M_2 H_a^{(2)} \cos^2 \theta_2) = 0, \quad (3)$$

$$M_1 \sin \theta_1 (H + 2H_a^{(1)} \cos \theta_1) = -M_2 \sin \theta_2 (H + 2H_a^{(2)} \cos \theta_2).$$

Границы коллинеарных и угловой фаз задаются уравнениями:

$$H^2 - [\lambda(M_2 - M_1) + 2(H_a^{(1)} - H_a^{(2)})]H - 2\lambda(M_1 H_a^{(1)} + M_2 H_a^{(2)} - 4H_a^{(1)}H_a^{(2)}) = 0, \quad (4)$$

$$H^2 - [\lambda(M_1 - M_2) - 2(H_a^{(1)} - H_a^{(2)})]H - 2\lambda(M_1 H_a^{(1)} + M_2 H_a^{(2)}) - 4H_a^{(1)}H_a^{(2)} = 0,$$

$$H^2 - [\lambda(M_1 + M_2) - 2(H_a^{(1)} + H_a^{(2)})]H - 2\lambda(M_1 H_a^{(1)} + M_2 H_a^{(2)}) + 4H_a^{(1)}H_a^{(2)} = 0.$$

Отметим характерные особенности фазовых диаграмм. При $H_a^{(1)} > 0$, $H_a^{(2)} > 0$ (рис. 1) разворот начинается с минимального поля, соответствующего температуре компенсации. Оно по порядку величины есть $H_{kp} \gtrsim (2K\lambda)^{1/2}$

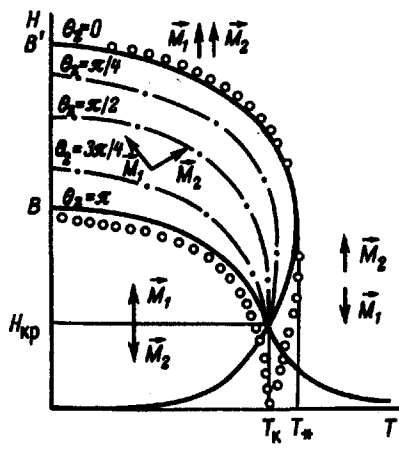


Рис. 1. Фазовая диаграмма (H, T) ферромагнетика при $H \parallel$ легкой оси кристалла
—, оооо — граница угловой и коллинеарной фаз с учетом и без учета энергии анизотропии, соответственно. — граница области существования метастабильных состояний (существуют фазы 1) и 2). —— кривые равных углов $\theta_2 (H, T)$

где K — константа анизотропии. При $T > T_*$ переход от антипараллельного к параллельному расположению намагниченностей подрешеток происходит без разворота. На рис. 1 изображены также области существования мета-

стабильных фаз. Границы этих областей дают по существу кривую температурной зависимости коэрцитивной силы $H_c^{(2)}$ для намагниченности железной подрешетки M_2 . Эта коэрцитивная сила проявляется, например, в опытах по эффекту Фарадея, в видимой области, где вращение плоскости поляризации света определяется железной подрешеткой. Представляет интерес точка A , где сходятся кривые равных углов θ_2 . При прохождении через эту точку углы θ_1 и θ_2 могут меняться скачком. При $H^1 < 0$, $H_a^{(2)} < 0$ (рис. 2) разворот подрешеток начинается с нулевого поля. Последнее связано с "несинхронным" поворотом магнитных моментов подрешеток от легкой оси к магнитному полю.

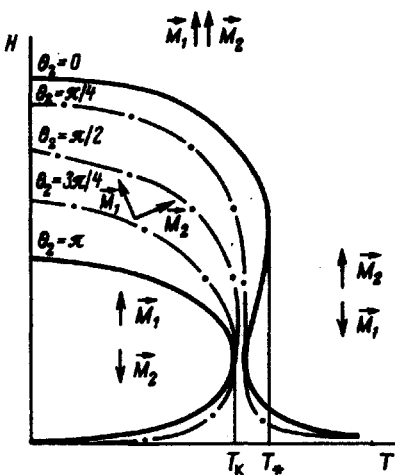


Рис. 2. Фазовая диаграмма ферримагнетика при $H \parallel$ трудной оси

Рассмотрим поведение свободной энергии при переходе между коллинеарной и угловой фазами. Раскладывая свободную энергию вблизи точки перехода в ряд по параметру $\eta = \pi - \theta_2$ или $\eta = \theta_2$ (для переходов соответственно, через кривые AB или AB' (рис. 1), получим:

$$F = a(T, H)\eta^2 + b(T, H)\eta^4 + \dots , \quad (5)$$

где функция $a(T, H)$ обращается в нуль на границе между фазами, а $b(T, H)$ больше нуля на границе (кроме точки A , где $b = 0$). Такой вид свободной энергии характерен для разовых переходов второго рода [4].

Параметр η можно рассматривать как параметр упорядочивания. При $\eta = 0$ ферримагнетик инвариантен относительно произвольных поворотов

вокруг магнитного поля. При $\eta \neq 0$ (в фазе с разворотом подрешеток) эта инвариантность снимается. Переход происходит в соответствии с теорией фазовых переходов второго рода Ландау, с понижением симметрии. Скачок теплоемкости на границе перехода равен

$\Delta C_p = T_c (da/dT)^2 / 2b \approx 10^{-2} \div 10^{-3}$ кал/г·град; ΔC_p возрастет при стремлении точки перехода к точке T_c . Такие же изменения имеют и другие термодинамические величины (например, модуль Юнга). Заметим, что измерение критических полей по "резкому" изменению термодинамических величин может оказаться более удобным, чем по полной намагниченности $M(H)$, которая изменяется при развороте плавно.

Нами был проведен расчет фазовой диаграммы и для случая кубической анизотропии. Если магнитное поле направлено вдоль выделенных направлений кубической решетки, то в этом случае фазовые диаграммы аналогичны приведенным выше. Например, если H параллельно легкой оси [111], то фазовая диаграмма подобна диаграмме I (рис. 1), а при $H \parallel [110]$ или $[100]$ – диаграмме II (рис. 2).

Отметим еще, что случай одноосной анизотропии имеет и самостоятельный интерес для ферритов-гранатов. Удобно изучать поведение намагниченостей подрешеток в магнитном поле при помощи эффекта Фарделя на тонких пластинках. Известно [5], что при обработке таких пластинок, часто появляется сильная одноосная анизотропия.

Московский
институт электронной техники

Поступила в редакцию
14 июля 1969 г.

Литература

- [1] С.В.Тябликов. Методы квантовой теории магнетизма. М., Изд. Наука 1965 г.
- [2] А.А.Гусев. Кристаллография, 4, 695, 1959.
- [3] A.Clark, E.Callen. J. Appl. Phys., 39, 5972, 1968.
- [4] Л.Д.Ландау, Е.М.Лифшиц. Статистическая физика. М., Изд. Наука, 1964 г.
- [5] G.D.Mee. Contemporary Physics, 8, 385, 1967.